

- Teoria de perturbação em mecânica celeste

①

Em termos de variáveis de ação e ângulo, o problema de Kepler é dado por:

$$H_0 = -\frac{m}{2} \frac{(GMm)^2}{(I_r + I_0)^2}, \quad I_r = \frac{1}{2\pi} \oint p_r dr$$
$$I_0 = \frac{1}{2\pi} \oint p_\theta d\theta = J$$

Nesse caso, temos $\omega_r = \omega_\theta = \frac{m (GMm)^2}{(I_r + I_0)^3}$ e a órbita é fechada

$$\Omega = \omega_r - \omega_\theta = 0 \quad (\text{sem precessão})$$

Vamos fazer uma transformação canônica para remover a degenerescência:

$$F_2 = (\phi_\theta - \phi_r) I_1 + \phi_r I_2 \quad \left\{ \begin{array}{l} (\phi_r, \phi_\theta, I_r, I_0) \rightarrow \\ \rightarrow (\phi_1, \phi_2, I_1, I_2) \end{array} \right.$$

$$\phi_1 = \frac{\partial F_2}{\partial I_1} = \phi_\theta - \phi_r; \quad I_r = I_2 - I_1$$

$$\phi_2 = \phi_r; \quad I_0 = I_1$$

Nessas novas coordenadas, temos que:

$$H_0 = - \frac{m (GMm)^2}{2 I_2^2}, \quad \omega_2 = \omega_r \quad (2)$$

$$\omega_L = \omega_0 - \omega_r = 0$$

Esse será o Hamiltoniano não perturbado.

Como exemplo de perturbação, considere:

$$H_1 = \frac{\varepsilon}{3r^3}, \quad \text{com } \varepsilon \text{ sendo uma constante pequena. (veja o exercício 4.27 do Kibble)}$$

Queremos encontrar ω_L , que nos dará a precessão:

$$\omega_L = \frac{\partial \langle H_1 \rangle}{\partial I_1}. \quad (\text{Utilizaremos o valor não perturbado de } I_1. \text{ Correto em primeira ordem})$$

$$\omega_L = \frac{\partial \langle H_1 \rangle}{\partial J} \quad (\omega_L = \omega_0 - \omega_r = -\Omega, \text{ velocidade angular de precessão})$$

Em vez de calcularmos o valor esperado como $\frac{1}{2\pi} \int H_1 d\phi_1$, vamos tomar explicitamente a média sobre um período da órbita não perturbada (válido em 1^a ordem):

$$\langle H_1 \rangle = \frac{1}{T} \int_0^T dt H_1$$

Isso evita o cálculo explícito de θ_1 . (3)

Da solução de H_0 , sabemos que:

$$J = m r^2 \dot{\theta} \Rightarrow dt = \frac{m r^2}{J} d\theta \text{ e assum:}$$

$$\langle H_1 \rangle = \frac{1}{T} \frac{m}{J} \int_0^{2\pi} H_1 r^2 d\theta$$

Para nosso exemplo particular:

$$\langle H_1 \rangle = \frac{1}{T} \frac{m}{J} \frac{\varepsilon}{3} \int_0^{2\pi} \frac{1}{r} d\theta$$

Para realizar essa integral, precisamos da equação da órbita não perturbada:

$$\frac{1}{r} = \frac{1}{\ell} [e \cos(\theta - \theta_0) + 1], \quad \ell = \frac{J^2}{m |k|}, \quad |k| = GMm$$

$$e^2 = 1 + \frac{2E\ell}{|k|}, \quad E < 0$$

$$\langle H_1 \rangle = \frac{1}{T} \frac{m}{J} \frac{\varepsilon}{3} \frac{1}{\ell} \left\{ \int_0^{2\pi} d\theta + e \int_0^{2\pi} \cos(\theta - \theta_0) d\theta \right\}$$

$$\langle H_1 \rangle = \frac{2\pi}{T} \frac{m}{J} \frac{\varepsilon}{3} \frac{m |k|}{J^2} = \frac{2\pi}{T} \frac{\varepsilon}{3} \frac{m^2 |k|}{J^3},$$

donde vem que:

$$\Omega = -\omega_1 = -\frac{\partial \langle H_1 \rangle}{\partial J}$$

(4)

$$\Omega = \frac{2\pi}{T} \cdot \epsilon \cdot \frac{m^2 |K|}{J^4} \quad (*)$$

Nessa forma geral, é difícil ter uma intuição acerca dessa correção. Se nos especializarmos em uma órbita não perturbada circular, podemos escrever:

órbita circular, podemos escrever:

$$J = m a^2 \omega, \quad \omega = \frac{2\pi}{T} = \left[\frac{|K|}{m a^3} \right]^{1/2} \quad (3^a \text{ lei de Kepler})$$

$$\Omega = \omega \cdot \frac{\epsilon}{|K|} \cdot \frac{m^2 |K|^2}{m^4 a^3 \omega^4} = \omega \cdot \frac{\epsilon}{|K| a^2} \cdot \frac{|K|^2}{m^2 a^6} \cdot \frac{1}{\omega^4}$$

$$\boxed{\Omega = \omega \cdot \frac{\epsilon}{|K| a^2}}, \quad |K| = GMm$$

Na verdade, essa forma de perturbação é induzida por correções da relatividade geral ao potencial Newtoniano. Nesse

caso: $\epsilon = \frac{|K| J^2}{c^2 m^2}$ (do ponto de vista da teoria de perturbação, tratamos ϵ como independente de J !)

velocidade da luz $\leftarrow c^2 m^2$

A partir de (*) podemos então calcular, ⑤
por exemplo, a precessão de Mercúrio:

$$\bar{T} = 0.2409 T_{\text{TERRA}}, \quad e = 0.2056, \quad a = 5.79 \times 10^7 \text{ Km}$$

$$\frac{GM_{\text{SOL}}}{c^2} = 1.4766 \text{ Km}. \quad \text{Com esses valores,}$$

temos então: $\Omega = 42.98$ arcosegundos/século.

$$1 \text{ arcosegundo} = \frac{1 \Omega}{3600}.$$

Depois de removermos outras contribuições, como a precessão de 531.34 arcosegundos/século causada pelos outros planetas do sistema solar, os resultados experimentais para a órbita de mercúrio dão uma precessão de 43.1 arcosegundos/século. Temos então um excelente acordo entre teoria e observação. Esse foi, historicamente, um dos primeiros testes da teoria geral da relatividade e ainda permanece muito importante.

- Teorema de Bertrand

(6)

A existência de uma terceira constante do movimento para o problema de Kepler e o oscilador harmônico 2D isotrópico torna esses problemas super-integráveis. Isso faz com ^{que} todas as órbitas sejam periódicas para todos os valores de E e J para os quais o movimento é limitado. O teorema de Bertrand mostra que, para potenciais centrais, só temos órbitas fechadas e limitadas se

$$V(r) = -K/r \text{ ou } V(r) = Kr^2, \text{ com } K > 0.$$

Isso faz esses dois problemas, de fato, especiais. Vamos agora esboçar uma demonstração desse teorema seguindo a seção 1.7 do livro do Nivaldo Lemos

Em um problema de força central, podemos escrever que:

$$E = \frac{1}{2} m \dot{r}^2 + \frac{J^2}{2mr^2} + V(r), \quad J = p_\theta = \text{cte.}$$

U(r) → energia potencial efetiva.

O mínimo de $U(r)$ corresponde a uma órbita circular de raio $r=a$ e energia $E_0=U(a)$. Nesse ponto, temos: ⑦

$$\bullet U'(a) = 0 = V'(a) - \frac{J^2}{a^3 m} \Rightarrow \frac{J^2}{m a^3} = V'(a) (*)$$

$$\bullet U''(a) = V''(a) + \frac{3J^2}{m a^4} = \frac{3}{a} V'(a) + V''(a) (**)$$

Introduzindo $u = 1/r$, podemos escrever:
 (SEC 4.4 do Kibble)

$$E = \frac{J^2}{2m} \left(\frac{du}{d\theta} \right)^2 + W(u), \quad W(u) = U(1/u) = \frac{J^2 u^2}{2m} + V\left(\frac{1}{u}\right)$$

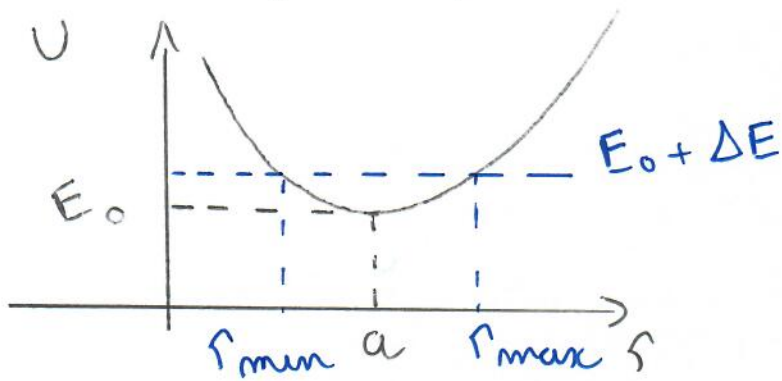
Podemos então escrever:

$$\theta = 2 \int_{u_{\min}}^{u_{\max}} \frac{J du}{[2m(E - W(u))]^{1/2}}$$

Uma órbita é limitada e fechada se depois de um número inteiro de oscilações completas de r , o ângulo varia de um número inteiro de 2π radianos: $\omega_r/\omega_\theta = q/p$, $q, p \in \mathbb{Z}$

Se todas as órbitas são fechadas, aquelas nas vizinhanças das trajetórias circulares

são igualmente fechadas. Por isso, consideraremos uma órbita limitada resultante de uma ligeira perturbação da órbita circular: (8)



Por isso, vamos expandir $W(u)$ ao redor de $u_0 = 1/a$

$$W'(u) \Big|_{u=1/a} = \frac{J^2 u}{m} - \frac{1}{u^2} V' \left(\frac{1}{u} \right) \Big|_{u=1/a} = a^2 \left[\frac{J^2}{ma^3} - V'(a) \right] = 0 \quad \stackrel{=0, \text{ por } (*)}{\text{}}$$

$$\begin{aligned} W''(u) \Big|_{u=1/a} &= \frac{J^2}{m} + \frac{2}{u^3} V' \left(\frac{1}{u} \right) + \frac{1}{u^4} V'' \left(\frac{1}{u} \right) \Big|_{u=1/a} \\ &= 3a^3 V'(a) + a^4 V''(a) = a^4 U''(a) \end{aligned}$$

$$E - W(u) = \Delta E - \frac{1}{2} W''(1/a) (u - u_0)^2 + O(u - u_0)^3$$

Defina agora $x^2 = 2\Delta E / W''(u_0)$ e $u = u_0 + x \sin \psi$

$$\theta = \frac{2J}{\sqrt{m W''(u_0)}} \int_{-\pi/2}^{\pi/2} \frac{x \cos \psi d\psi}{\sqrt{x^2 (1 - \sin^2 \psi)}} \stackrel{\rightarrow E=W(u)}{=} 2\pi \frac{J}{\sqrt{ma^3}} \cdot \frac{1}{\sqrt{a U''(a)}}$$

$$\theta = 2\pi \sqrt{\frac{V'(a)}{3V'(a) + aV''(a)}} \quad (9)$$

Escreva agora $V(r) = Kr^\alpha$ e assim:

$$V'(a) = \alpha K a^{\alpha-1} \quad \text{e} \quad V''(a) = \alpha(\alpha-1) a^{\alpha-2} \Rightarrow$$

$$\theta = 2\pi \sqrt{\frac{1}{\alpha+2}} \quad (K < 0 \text{ se } -2 < \alpha < 0) \quad (***)$$

Em uma órbita fechada, θ deve ser um múltiplo inteiro de 2π pois o período em θ e r devem ser comensurados. Isso mostra que $\alpha = -1$ (Newton) e $\alpha = 2$ (oscilador), de fato produzem órbitas fechadas. No entanto, essa análise mostra que as órbitas vizinhas à circular ainda serão fechadas se $\alpha = 7, 14, 23, \dots$

Como procuramos situações em que todas as órbitas sejam fechadas, independente da energia, vamos agora analisar o limite $E \rightarrow \infty$ complementando a análise de baixas energias $E \rightarrow 0$ - feito até o momento.

Os pontos de retorno $U(r) = E$ são:

$$E = \frac{J^2}{2mr^2} + Kr^\alpha$$

(10)

- $\alpha > 0, K > 0, E \rightarrow \infty$

$$r_{\max} \rightarrow \infty \quad e \quad r_{\min} \approx \left[\frac{J^2}{2mE} \right]^{1/2}$$

$$\theta = 2J \int_{r_{\min}}^{r_{\max}} \frac{dr}{r^2 [2m(E - U(r))]^{1/2}} = \frac{2J}{\sqrt{2m}} \int_{r_{\min}}^{\infty} \frac{dr}{r^2 [E - \frac{J^2}{2mr^2} - Kr^\alpha]^{1/2}}$$

$$x = \frac{J}{\sqrt{2mE}} \frac{1}{r} \Rightarrow dx = \frac{J}{\sqrt{2mE}} \left(-\frac{1}{r^2} \right) dr$$

$$x_{\min} = \frac{J}{\sqrt{2mE}} \frac{1}{r_{\max}} \rightarrow 0; \quad x_{\max} = \frac{J}{\sqrt{2mE}} \frac{1}{r_{\min}} = 1.$$

$$\theta = 2 \int_0^1 \frac{dx}{\left[1 - x^2 - \frac{J^\alpha}{(2m)^{\alpha/2}} \frac{K}{E^{\alpha/2+1}} x^{-\alpha} \right]^{1/2}}$$

$$\theta = 2 \int_0^1 \frac{1}{[1 - x^2]^{1/2}} = 2 \operatorname{ArcSin} x \Big|_0^1 = \pi.$$

\downarrow 0, $E \rightarrow \infty$

Portanto, para $\alpha > 0$ apenas $\alpha = 2$ leva a uma órbita fechada, veja equação (***).

Assim, os valores $\alpha = 4, 14, 23$, etc são excluídos.

Uma análise similar para $\alpha < 0$ fornece apenas o valor $\alpha = -1$.